



# Comparação entre Eletrodos de Grafeno Induzido por Laser e Impressos em 3D com Óxido de Grafeno Reduzido, Carbon Black e Ácido Polilático para Detecção de Nimesulida.

Dianderson C. M. Ferreira<sup>1\*</sup> (PG), Raquel G. Rocha (PQ)<sup>1</sup>, Iranaldo S. da Silva (PQ)<sup>2</sup>, Luiza M. F. Dantas<sup>2</sup> (PQ), Eduardo M. Richter<sup>1</sup> (PQ), Rodrigo A. Munõz<sup>1</sup> (PQ).

<sup>1</sup> Federal University of Uberlândia – Institute of Chemistry – Uberlândia, Minas Gerais, Brazil.

<sup>2</sup> Federal University of Maranhão – Department of Chemical Technology –São Luis, Maranhão, Brazil.

\*e-mail: dianderson.ferreira@ufu.br.

#### **RESUMO**

A Nimesulida (NMS), um anti-inflamatório não esteroidal da classe das sulfonamidas com propriedades analgésicas e antipiréticas, é amplamente prescrita no Brasil devido à sua maior eficácia. Embora tenha vantagens como baixo custo e rápido início de ação, seu uso indiscriminado, especialmente em altas doses ou combinações, pode levar a graves efeitos adversos, incluindo danos gástricos, hepáticos, renais, insuficiência renal e hepatotoxicidade. O intuito deste trabalho foi comparar dois sensores eletroquímicos para a determinação de NMS: um baseado em grafeno induzido por laser (do inglês, "laser induced graphene", LIG) e outro obtido por impressão 3D com filamento composto de óxido de grafeno reduzido (do ingês, reduced graphene oxide, rGO), negro de fumo (do inglês, carbon black, CB) e ácido polilático (PLA). Ambos operaram em pH 7,0 utilizando Voltametria de Onda Quadrada. O sensor LIG apresentou faixa linear de 15-74 μmol L<sup>-1</sup>, limite de detecção (LD) de 4,2 μmol L<sup>-1</sup> e quantificação (LQ) de 12,7 μmol L<sup>-1</sup>. Por sua vez, a metodologia utilizando o sensor impresso em 3D exibiu uma faixa linear de 1,0-8,0 μmol L<sup>-1</sup>, LD de 0,3 μmol L<sup>-1</sup> e LQ de 1,2 μmol L<sup>-1</sup>. Embora ambos os métodos sejam promissores para a determinação de NMS, o sensor 3D demonstrou maior sensibilidade analítica, refletida nos menores LD e LQ.

Palavras-chave: Fused deposition modeling, sensor eletroquímico, anti-inflamatório.

## Introdução

A Nimesulida (NMS) é um anti-inflamatório não esteroidal (AINE) da classe das sulfonamidas, conhecida por suas propriedades analgésicas e antipiréticas [1]. É amplamente prescrita no Brasil devido à sua maior eficácia em comparação com outros AINEs comumente utilizados, como diclofenaco, ibuprofeno e piroxicam[2]. Apesar de suas vantagens, como baixo custo e rápido início de ação, seu uso indiscriminado, especialmente em altas doses ou em combinação com outros medicamentos, pode levar a efeitos adversos graves, incluindo danos gástricos, hepáticos e renais, bem como insuficiência renal e hepatotoxicidade [2], [3].

Diversas técnicas analíticas, como métodos espectrofotométricos e cromatográficos com detecção UV-vis ou espectrometria de massas [4], [5] têm sido empregadas para determinar NMS. Embora muitas dessas técnicas apresentam boas sensibilidade e ótimo limite de detecção, essas técnicas estão associadas a altos custos, etapas complexas de pré-tratamento de amostras e geração de resíduos tóxicos [3]. Nesse sentido, os métodos eletroanalíticos oferecem diversas vantagens sobre as abordagens convencionais, incluindo menor consumo de reagentes, menor tempo de análise, menores custos de instrumentação e reagentes menos tóxicos [6].

Para o uso de técnicas eletroanalíticas na detecção do analito de interesse, a escolha do eletrodo de trabalho é fundamental para o desenvolvimento de métodos de análise [6].

Nanomateriais de carbono, como o grafeno, têm atraído interesse s significativo em diversos campos de pesquisa devido à sua estrutura única, uma folha planar de camada única de átomos de carbono arranjados em uma rede hexagonal [7], [8]. As propriedades do grafeno incluem alta condutividade elétrica e térmica, resistência mecânica, flexibilidade inerente e uma grande área superficial, tornando-o adequado para aplicações em diversos campos [9]. O objetivo desse trabalho é apresentar dos sensores a base de grafeno, bem como suas rotas de produção, comparando seu desempenho na determinação da Nimesulida.

## **Experimental**

Reagentes e soluções

Todos os reagentes utilizados neste trabalho foram de grau analítico e usados como recebidos. As soluções aquosas foram preparadas com água deionizada de alta pureza com resistividade de pelo menos 18 MΩ cm, obtida de um sistema de purificação de água Millipore Direct 8 (Millipore®, Alemanha). A solução estoque de NMS 5,0 mmol L<sup>-1</sup> (Sigma Aldrich®, EUA) foi preparada em hidróxido de sódio 0,1 mol L<sup>-1</sup> (ISOFAR®, Brasil) e, antes dos experimentos, foi diluída em um eletrólito suporte apropriado. A solução tampão Britton-Robinson (BR) 0,12 mol L<sup>-1</sup> foi preparada a partir dos reagentes ácido acético, ácido bórico, ácido fosfórico e cloreto de potássio (ISOFAR®, Brasil). A solução tampão fosfato (PB) 0,1 mol L<sup>-1</sup> foi preparada usando fosfato monossódico e fosfato dissódico (ISOFAR®, Brasil).



#### Fabricação do LIG

A fabricação do LIG utilizou uma cortadora a laser de CO<sub>2</sub> (WorkSpecial WS4040, 10,6 μm, 40W) e software RDWorks 8.0. Aplicou-se 0,9W de potência, pulso de 14μs e velocidade de 40mm s<sup>-1</sup>, com o laser a 10mm do substrato de poli-imida. Um lote de quatro eletrodos foi produzido em 280 segundos. A área de trabalho foi delimitada com esmalte, e fita de cobre foi usada para o contato elétrico.

### Fabricação do eletrodo rGO/CB-PLA

Para a construção dos filamentos condutores (rGO/CB-PLA e CB-PLA), utilizaram-se Carbon Black (CB), óxido de grafeno reduzido (rGO) e ácido polilático (PLA) de fornecedores especificados. A síntese usando 30g de materiais, o filamento rGO/CB-PLA final continha 5% p/p de rGO, 20% p/p de CB e 75% p/p de PLA. As cargas condutoras foram dispersas em acetona/clorofórmio sob refluxo (10 min), seguido da adição e dissolução do PLA (70°C, 3h). A mistura foi vertida em etanol para recristalização do compósito com os materiais de carbono. Este foi filtrado, lavado com etanol, seco em estufa (50°C, 12h), particionado e, por fim, extrudado a 180°C para formar os filamentos. Os eletrodos foram produzidos por uma impressora 3D do tipo Modelagem por Deposição Fundida (FDM), no qual foi empregado um bico extrusor de 0,6 mm, e a temperatura de extrusão foi configurada para 230 °C, com a temperatura da mesa aquecida a 90 °C. O eletrodo foi projetado como uma estrutura de quadrado (10,0 ×10,0 mm de diâmetro e 2,0 mm de espessura), onde uma placa de metal foi utilizada para conexão com o clipe jacaré ao potenciostato.

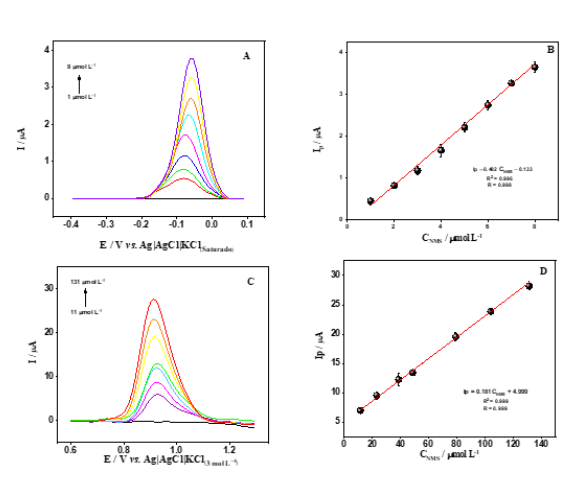
# Resultados e Discussão

De acordo com a Tabela 1, ambos os eletrodos, rGO/CB-PLA e LIG, operam em pH 7,0 e utilizam a técnica de Voltametria de Onda Quadrada (SWV), no entanto, o eletrodo impresso em 3D à base de rGO/CB/PLA demonstrou uma sensibilidade significativamente maior para a determinação de NMS (Figura 1). Isso é evidenciado pela sua faixa linear que se estende a concentrações mais baixas e, mais notavelmente, pelos seus limites de detecção e quantificação substancialmente inferiores (LD de 0,31  $\mu$ mol L $^{-1}$  e LQ de 1,2  $\mu$ mol L $^{-1}$ ) em relação ao eletrodo LIG (LD de 4,18  $\mu$ mol L $^{-1}$  e LQ de 12,68  $\mu$ mol L $^{-1}$ ).

**Tabela 1.** Parametros utilizados para o eletrodo rGO/CB-PLA e para o LIG.

eletrodo	pН	Técnica	Faixa linear µmol L <sup>-1</sup>	LD µmol L <sup>-1</sup>	LQ μmol L <sup>-1</sup>
LIG	7,0	SWV	11 — 113	1,30	4,30
rGO/CB- PLA	7,0	SWV	1 — 8	0,31	1,20





**Figura 1.** Voltamogramas e suas respectivas curuvas analiticas para o eletrodo rGO/CB-PLA ( A e B) e para o LIGe (C e D).

#### Conclusões

Tanto o eletrodo de grafeno induzido por laser quanto o eletrodo impresso em 3D com rGO/CB/PLA mostraram-se plataformas viáveis para a determinação eletroquímica de nimesulida. O eletrodo LIG oferece um método direto e econômico de fabricação. Contudo, em termos de sensibilidade analítica, o eletrodo impresso em 3D demonstrou um desempenho superior, com limites de detecção e quantificação consideravelmente mais baixos. A escolha entre os dois sensores dependeria dos requisitos específicos da aplicação, como a faixa de concentração de interesse e a necessidade de limites de detecção ultrassensíveis. Ambos os estudos contribuem com avanços significativos no campo de sensores.

### Agradecimentos

CAPES, FAPEMIG, CNPq, INCTBio, FAPEMA, UFU e UFMA.

## Referências

- [1] W. B. V. de Oliveira, T. P. Lisboa, C. C. de Souza, M. A. C. Matos, and R. C. Matos, *Microchem. J.*, vol. 188, p. 108463, May 2023.
- [2] N. P. Shetti *et al.*, *Mater. Sci. Energy Technol.*, vol. 2, no. 3, pp. 396–400, Dec. 2019.
- [3] S. D. Bukkitgar *et al.*, *J. Electroanal. Chem.*, vol. 778, pp. 103–109, Oct. 2016.
- [4] A. A. Waheb, A. S. Rasheed, and M. J. M. Hassan, *Curr. Pharm. Anal.*, vol. 18, no. 10, pp. 949–958, Dec. 2022.
- [5] M. N. Sheikholeslami, C. Gómez-Canela, L. P. Barron, C. Barata, M. Vosough, and R. Tauler, *Chemosphere*, vol. 260, p. 127479, Dec. 2020.
- [6] P. B. Deroco, R. C. Rocha-Filho, and O. Fatibello-Filho, *Talanta*, vol. 179, pp. 115–123, Mar. 2018.
- [7] S. J. E. D. Vieira and V. E. O., *Rev. Eletrônica Mater. e Process.*, vol. 11, no. 2, pp. 54–57, 2016.
- [8] A. Wong, A. M. Santos, and O. Fatibello-Filho, *J. Electroanal. Chem.*, vol. 799, pp. 547–555, Aug. 2017.
- [9] Y. Sun, Q. Wu, and G. Shi, *Energy Environ. Sci.*, vol. 4, no. 4, p. 1113, 2011.